

# ПСЕВДОЩЕЛЬ И ПЕРЕХОДЫ ДИЭЛЕКТРИК – МЕТАЛЛ В ПРИМЕСНЫХ ПОЛУПРОВОДНИКАХ

*А. И. Агафонов\*, Э. А. Маныкин*

Российской научный центр «Курчатовский институт»  
123182, Москва, Россия

Поступила в редакцию 7 мая 2005 г.

Проведен расчет электронного спектра примесного полупроводника в модели Андерсона – Холстейна и его электропроводности в рамках формализма Кубо. На фазовой диаграмме найдены две характерные температуры, зависящие от уровня легирования. При первой температуре  $T_{PG}$  исчезает псевдощель, открывающаяся в спектрах одночастичных состояний при низких уровнях легирования и температурах. Причиной возникновения псевдощелевого диэлектрического состояния являются спиновые флуктуации в легированном соединении. При второй температуре  $T_\lambda(x)$  затухают спиновые флуктуации, а легированное соединение переходит в состояние парамагнитного плохого металла. Найдены два различных перехода диэлектрик – металл, при которых происходит изменение температурной зависимости сопротивления от полупроводникового типа к металлическому. Первый переход диэлектрик  $\rightarrow$  плохой металл имеет место при температуре  $T^*(x) \approx T_\lambda(x)$ . Второй переход, псевдощелевой переход плохой металла  $\rightarrow$  диэлектрик в области низких температур, связан с псевдощелью и температурным изменением в ней плотности состояний. Показано, что оба перехода наблюдаются в  $\text{La}_{2-x}\text{Sr}_x\text{CuO}_4$ .

PACS: 71.30.+h, 74.72.-h

## 1. ВВЕДЕНИЕ

Одно из наиболее обсуждаемых свойств высокотемпературных сверхпроводников связано с присутствием в нормальной фазе вблизи химического потенциала энергетической области с резко пониженной плотностью одночастичных состояний [1–4]. Такое состояние получило название псевдощелевого и наблюдается в тех купратах, для которых доступна недодопированная область фазовой диаграммы при температурах ниже характерной температуры  $T^*$ , которая зависит от уровня легирования. Псевдощель проявляет себя как особенность на экспериментально измеряемых характеристиках легированных купратов, таких как электропроводность, теплоемкость, магнитная восприимчивость. Так, при измерениях электропроводности соединения  $\text{La}_{2-x}\text{Sr}_x\text{CuO}_4$  имеется характерная температура, при которой происходит переход от полупроводникового типа проводимости к металлическому, как показано на рис. 1, взятом из работы [5].

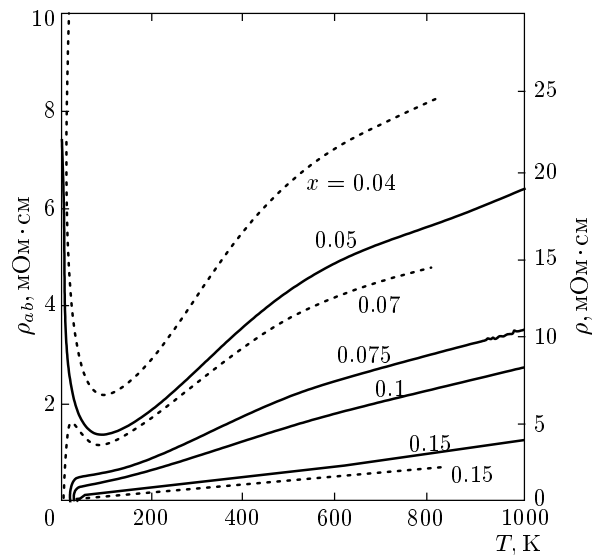


Рис. 1. Температурная зависимость сопротивления монокристаллов (пунктирные кривые, левая шкала) и поликристаллов (сплошные кривые, правая шкала)  $\text{La}_{2-x}\text{Sr}_x\text{CuO}_4$  при различных уровнях легирования [5]

\*E-mail: aai@issph.kiae.ru

Псевдощель наблюдается в ВТСП-материалах как при дырочном, так и при электронном легировании. Для последнего случая псевдощель была найдена недавно в нормальном состоянии соединений  $\text{Pr}_{2-x}\text{Ce}_x\text{CuO}_{4-y}$  и  $\text{La}_{2-x}\text{Ce}_x\text{CuO}_{4-y}$  при  $T < T_c$ , когда сверхпроводимость подавлялась магнитным полем [6].

В настоящее время нет общепринятой теории псевдощели. Анализ известных экспериментальных данных позволяет сделать вывод, что псевдощелевое и сверхпроводящее состояния сосуществуют и конкурируют, плавно переходя из одного в другое при изменении температуры, магнитного поля и концентрации носителей (см. работы [2, 7, 8] и ссылки в них). Известны подходы к ее описанию, в которых псевдощель рассматривается как предвестник сверхпроводимости. Это модели локальных пар, образующихся при  $T > T_c$  и приобретающих фазовую когерентность при  $T = T_c$  (см. работу [9] и ссылки в ней). В других подходах открытие псевдощели рассматривается как возникновение другого основного состояния, отделенного от сверхпроводящего некоторой квантовой критической точкой [4, 10], т. е. наряду со сверхпроводящим параметром порядка в псевдощелевом состоянии возникает по крайней мере еще один параметр упорядочения.

Предлагаемые теоретические подходы для описания нормального псевдощелевого и сверхпроводящего состояний должны согласовываться с экспериментальными данными по изменению электронной структуры и положению химического потенциала в зависимости от уровня легирования в ВТСП-материалах. Известные результаты, полученные для ряда сверхпроводящих легированных купратов, таких как  $\text{La}_{2-x}\text{Sr}_x\text{CuO}_4$  [11, 12],  $\text{Nd}_{2-x}\text{Ce}_x\text{CuO}_4$  [13, 14] и  $\text{Bi}_2\text{Sr}_2\text{Ca}_{1-x}\text{Y}_x\text{Cu}_2\text{O}_8$  [15], ясно показывают, что при их легировании появляется плотность одночастичных состояний в области исходной запрещенной зоны нелегированных материалов, а химический потенциал находится в этих щелевых состояниях и почти не меняется при легировании [16, 17]. Таким образом, как псевдощель в нормальном состоянии в недодопированной области фазовой диаграммы, так и сверхпроводящая щель открываются в спектре одночастичных состояний, появляющихся при легировании в области исходной запрещенной зоны.

На основании того, что сверхпроводящее состояние сохраняется глубоко в диэлектрическом состоянии, сосуществует с антиферромагнетизмом купратов при малых уровнях донорирования, но не проявляет себя лишь из-за разрушения дальнего порядка, недавно был предложен новый подход для

ВТСП-материалов [18]. Поскольку, по мнению автора работы [18], отсутствуют убедительные данные о возможности сверхпроводимости в моделях Хаббарда, вместо диагонализации конфликтующих гамильтонианов был использован подход БКШ для модели плоской квадратной решетки узлов, дополненный тем, что в волновую функцию основного состояния введен оператор проектирования, учитывающий кулоновское взаимодействие фермионов на узлах. В этой модели возникает плотность состояний в области щели Мотта–Хаббарда и отмечается [18–20], что химический потенциал не будет «перепрыгивать» через щель при легировании, как это происходит в моделях Хаббарда [17].

Однако в предложенной модели щелевая плотность состояний является конечной даже при отсутствии легирования [18]. В то же время экспериментальные исследования структурного пика плотности щелевых состояний с изменением уровня легирования показали, что площадь под ним пропорциональна уровню легирования (см. работу [14] и ссылки в ней).

Исходно  $\text{La}_2\text{CuO}_4$  является антиферромагнетиком. При  $x = 0.02$  магнитное упорядочение в  $\text{La}_{2-x}\text{Sr}_x\text{CuO}_4$  исчезает, и уже в парамагнитной фазе при  $x \geq 0.05$  имеют место переходы диэлектрик–сверхпроводник–металл в легированном соединении.

Целью настоящей работы является изучение псевдощелевого состояния в парамагнитной фазе примесного полупроводника, у которых при переходе от диэлектрической фазы к проводящей фазе возникает плотность одночастичных электронных состояний в области исходной запрещенной зоны. При этом химический потенциал находится в примесных зонах, возникающих в глубине этой энергетической щели, и его положение слабо меняется при легировании. Для описания примесного полупроводника используется модель Андерсона–Холстейна, в которой учитывается ансамбль примесных узлов, случайным образом распределенных в исходной решетке, и учтены электронные корреляции на примесных орбиталах. В результате расчета электронного спектра найдено псевдощелевое состояние в нормальной фазе примесного полупроводника, в образовании которого ключевая роль отводится спиновым флуктуациям в легированной системе. На основе формализма Кубо получено выражение для статической электропроводности. Обнаружены плавные переходы диэлектрик–металл при увеличении температуры и/или уровня легирования. Проводится сравнение полученных результатов с экспериментальными

данными для  $\text{La}_{2-x}\text{Sr}_x\text{CuO}_4$ .

## 2. МОДЕЛЬНЫЙ ГАМИЛЬТОНИАН

Химический состав купрятных плоскостей не меняется при легировании как, например, в  $\text{La}_{2-x}\text{Sr}_x\text{CuO}_4$ . Исходная зонная структура вблизи запрещенной зоны определяется в основном гибридизацией 3d-состояний меди и 2p-состояний кислорода. При введении примеси замещения в  $\text{La}_{2-x}\text{Sr}_x\text{CuO}_4$  ионы  $\text{La}^{3+}$  в слоях LaO случайным образом замещаются ионами  $\text{Sr}^{2+}$ . Оба валентных электрона стронция идут на образование валентных связей, и, следовательно, можно ожидать возникновения однократно заполненной примесной орбитали [21–24]. Купрятный слой  $\text{CuO}_2$  в этом соединении находится между двумя промежуточными слоями состава  $\text{La}_{1-x/2}\text{Sr}_{x/2}\text{O}$ . Примесные орбитали прижаты к купрятному слою, а их центры расположены вне  $\text{CuO}_2$ -плоскости. Учитывая сильную анизотропию физических характеристик купрятов, мы не будем рассматривать перенос заряда поперек слоев  $\text{CuO}_2$ .

Обобщая одноузельную модель Андерсона–Халдайна [25] для примесного полупроводника с конечной концентрацией примесных атомов, случайным образом распределенных в исходной кристаллической решетке, и учитывая электрон-фононное взаимодействие холстейновского (локальная мода) или фрелиховского типа на примесных узлах, гамильтониан представленной модели можем записать в виде [26]

$$\begin{aligned} H = & \sum_{\mathbf{k}, \sigma} \varepsilon_{\mathbf{k}} n_{\mathbf{k}\sigma} + \sum_{j, \sigma} \varepsilon_0 n_{j\sigma} + \sum_j U n_{j\sigma} n_{j,-\sigma} + \\ & + \sum_{j, \mathbf{k}, \sigma} \{ V_{\mathbf{k}j} a_{\mathbf{k}\sigma}^+ a_{j\sigma} + \text{H.c.} \} + \\ & + \sum_{j, \sigma, \kappa} \hbar \Omega_{\kappa} \xi_{j\kappa} n_{j\sigma} \phi_{\kappa} + \sum_{\kappa} \hbar \Omega_{\kappa} \left( b_{\kappa}^+ b_{\kappa} + \frac{1}{2} \right). \quad (1) \end{aligned}$$

Здесь оператор числа частиц  $n_{\mathbf{k}\sigma} = a_{\mathbf{k}\sigma}^+ a_{\mathbf{k}\sigma}$  относится к исходной валентной зоне полупроводника с законом дисперсии  $\varepsilon_{\mathbf{k}}$ ;  $\mathbf{k}$  — волновой вектор;  $\sigma = \uparrow, \downarrow$  — спиновый индекс; оператор числа частиц  $n_{j\sigma} = a_{j\sigma}^+ a_{j\sigma}$  относится к ансамблю узлов, случайным образом распределенных в исходной решетке полупроводника;  $\varepsilon_0$  — затравочная энергия электронного локализованного состояния на узле;  $j$  — номер узла;  $U$  — внутриузельная электронная корре-

ляционная энергия;  $V_{\mathbf{k}j}$  — матричный элемент гибридизации,

$$V_{\mathbf{k}j} = V_{\mathbf{k}l} \exp(i\mathbf{k} \cdot \mathbf{R}_j),$$

$\mathbf{R}_j$  — радиус-вектор  $j$ -го примесного центра; величина  $\xi_{j\kappa}$  представляет электрон-фононное взаимодействие;  $\Omega_{\kappa}$  — энергия фононов;  $b_{\kappa}^+$  ( $b_{\kappa}$ ) — оператор рождения (уничтожения) фона и  $\phi_{\kappa} = b_{\kappa} + b_{\kappa}^+$ . В модели Фрелиха индекс « $\kappa$ » следует заменить на  $\mathbf{q}$  — волновой вектор фона, в модели холстейновской локальной моды  $\kappa = j$ .

В гамильтониане (1) используется однозонное приближение для полупроводника. Это вызвано тем, что численный анализ представленных ниже аналитических решений замкнутых систем уравнений для функций Грина удалось провести только в этом приближении, хотя эти полученные решения можно обобщить на случай многих зон.

Собственные состояния гамильтониана (1) зависят от исходного узельного заполнения

$$2A = \langle j | n_{j\uparrow} + n_{j\downarrow} | j \rangle.$$

Мы рассматриваем случай одного электрона на примесную орбиталь,  $2A = 1$ . Полное число примесных узлов  $N_{im}$  представим в виде  $N_{im} = xN_t$ , где  $N_t$  — полное число состояний в затравочной зоне полупроводника, а  $x$  будем рассматривать как уровень легирования.

Резонансная теория глубоких локализованных состояний в кристаллических полупроводниках основана на рассмотрении гамильтониана Андерсона–Халдайна с одним примесным атомом [25, 27]. Этот гамильтониан получается из гамильтониана (1), если в последнем опустить члены, связанные с фононной подсистемой, и считать, что индекс « $j$ » принимает только одно значение. Глубокие уровни в запрещенной зоне в такой модели возникают не в результате отщепления локализованного состояния от зонного континуума, а в результате перенормировки собственного уровня (резонанса), вносимого примесью в спектр матрицы [27].

Учет конечной концентрации примесных атомов приводит к качественно различным результатам для энергетического спектра электронов в примесном полупроводнике [28]. В этом случае гибридизация вызывает последовательность одночастичных переходов между примесной орбиталью и зонным состоянием. В результате в области исходной запрещенной зоны образуются два типа узких примесных зон с большой плотностью состояний.

В результате одночастичных переходов по примесному ансамблю (исходно зонное  $\mathbf{k}$ -состояние →

→ примесный узел  $j \rightarrow$  исходно зонное  $\mathbf{k}_1$ -состояние и т. д.) часть зонных состояний отщепляется в область запрещенной зоны, формируя первый тип примесных зон [28]. Число состояний в этих зонах точно равно уменьшению числа зонных состояний. Эти щелевые состояния, характеризуемые законом дисперсии, можно назвать распространенными состояниями.

Гибридизация также приводит к переходам примесный узел  $j \rightarrow$  исходно зонное  $\mathbf{k}$ -состояние → примесный узел  $j_1 \rightarrow \mathbf{k}_1$ -состояние → примесный узел  $j_2$  и т. д. Оказалось, что диагональная по  $j$  функция Грина имеет простой полюс, который лежит внутри щелевой зоны распространенных состояний, возникшей в исходной запрещенной зоне полупроводника (см. рис. 5 в работе [28]). Этот результат был получен для немагнитного решения в согласованном приближении Хартри–Фока, в рамках которого внутриузельные корреляции сводятся к переномировке затравочной энергии локализованного состояния на узле,  $\varepsilon_0 \rightarrow \varepsilon_0 + \langle n_{j\sigma} \rangle$ , в первом порядке для собственno-энергетической части  $\Sigma_{jj}$ :

$$\Sigma_{jj}^{(1)} = \sum_{\mathbf{k}} \frac{V_{\mathbf{k}\mathbf{l}}^2}{G^{(0)-1}(\mathbf{k}, \mathbf{k}; \omega) - xN_t|V_{\mathbf{k}\mathbf{l}}|^2 G^{(0)}(l, l; \omega)},$$

где ( $\delta \rightarrow +0$ )

$$G^{(0)}(\mathbf{k}, \mathbf{k}; \omega) = (\omega - \varepsilon_{\mathbf{k}} + i\delta)^{-1},$$

$$G^{(0)}(l, l; \omega) = (\omega - \varepsilon_0 + i\delta)^{-1}.$$

Используя технику конфигурационного усреднения по положениям  $\{\mathbf{R}_j\}$  примесных атомов [29], можно найти поправку во втором порядке к собственno-энергетической части:

$$\Sigma_{jj}^{(2)} = xN_t G^{(0)}(l, l; \omega) \times \\ \times \sum_{\mathbf{k}} \frac{V_{\mathbf{k}\mathbf{l}}^4}{a_{\mathbf{k}}^2} \left[ \frac{1}{1-c} \int_0^\infty \frac{dt e^{-t}}{e^{-zt} + c/(1-c)} - 1 \right],$$

где

$$z = G^{(0)}(l, l; \omega) \Sigma_{jj}^{(1)}(\omega),$$

$$a_{\mathbf{k}} = G^{(0)-1}(\mathbf{k}, \mathbf{k}; \omega) - xN_t V_{\mathbf{k}\mathbf{l}}^2 G^{(0)}(l, l; \omega)$$

и  $c = xN_t/N_s$ ,  $N_s$  — концентрация решеточных узлов для примеси.

Можно показать, что при учете второй поправки для  $\Sigma_{jj}$  сохраняется простой полюс у диагональной по  $j$  функции Грина, который лежит в примесной зоне распространенных состояний. Этот второй тип примесных зон будем называть локальными состояниями.

### 3. СИСТЕМА ФУНКЦИЙ ГРИНА ДЛЯ НОРМАЛЬНОГО СОСТОЯНИЯ

Рассмотрение проводим в представлении термодинамических переменных, в котором задано полное число фермионов в легированной системе. Это позволяет определить химический потенциал  $\mu$ . Для гамильтониана (1) замкнутая система уравнений для температурных функций Грина [30] была получена в работе [26] с использовании двух приближений: в уравнениях движения для функций Грина  $g_{\sigma\sigma_1}(j, \nu; \tau)$  с первым параметром  $j$  для появляющихся двухчастичных функций Грина использовались приближение среднего поля и затравочная электрон-фононная вершина в собственno-энергетических частях.

В результате для парамагнитного нормального состояния система уравнений для распространенных состояний приводится к виду

$$g_{\sigma\sigma_1}(\mathbf{k}, \mathbf{k}_1; \omega_n) = g^{(0)}(\mathbf{k}, \mathbf{k}; \omega_n) \times \\ \times \left[ \delta_{\mathbf{k}\mathbf{k}_1} \delta_{\sigma\sigma_1} + \sum_j V_{\mathbf{k}j} g_{\sigma\sigma_1}(j, \mathbf{k}_1; \omega_n) \right], \quad (2)$$

$$g_{\sigma\sigma_1}(j, \mathbf{k}; \omega_n) = g^{(0)}(l, l; \omega_n) \times \\ \times \left\{ \sum_{\mathbf{k}_1} V_{j\mathbf{k}_1} g_{\sigma\sigma_1}(\mathbf{k}_1, \mathbf{k}; \omega_n) - \right. \\ \left. - [\lambda U - \Sigma_{\lambda}(\omega_n)] g_{-\sigma\sigma_1}(j, \mathbf{k}; \omega_n) \right\}. \quad (3)$$

Аналогично для локальных состояний в нормальной фазе получаем

$$g_{\sigma\sigma_1}(j, j_1; \omega_n) = g^{(0)}(l, l) \times \\ \times \left\{ \delta_{jj_1} \delta_{\sigma\sigma_1} + \sum_{\mathbf{k}} V_{j\mathbf{k}} g_{\sigma\sigma_1}(\mathbf{k}, j_1) - \right. \\ \left. - [\lambda U - \Sigma_{\lambda}(\omega_n)] g_{-\sigma\sigma_1}(j, j_1) \right\}, \quad (4)$$

$$g_{\sigma\sigma_1}(\mathbf{k}, j; \omega_n) = \\ = g^{(0)}(\mathbf{k}, \mathbf{k}; \omega_n) \sum_{j_1} V_{\mathbf{k}j_1} g_{\sigma\sigma_1}(j_1, j; \omega_n). \quad (5)$$

В уравнениях (2)–(5) использованы обозначения

$$\omega_n = (2n+1)\pi T, \quad g^{(0)}(\mathbf{k}, \mathbf{k}; \omega_n) = (i\omega_n - \varepsilon_{\mathbf{k}})^{-1}, \quad (6)$$

$$g^{(0)}(l, l; \omega_n) = [i\omega_n - \varepsilon_0 - UA - \Sigma(\omega_n)]^{-1}, \quad (7)$$

собственно-энергетические части

$$\begin{aligned} \Sigma(\omega_n) &= \\ &= -T(\xi\hbar\Omega)^2 \sum_{n_1} d^0(\omega_n - \omega_{n_1}) g_{\sigma\sigma}(j, j; \omega_{n_1}), \end{aligned} \quad (8)$$

$$\begin{aligned} \Sigma_\lambda(\omega_n) &= \\ &= -T(\xi\hbar\Omega)^2 \sum_{n_1} d^0(\omega_n - \omega_{n_1}) g_{-\sigma\sigma}(j, j; \omega_{n_1}) \end{aligned} \quad (9)$$

и фононная функция Грина

$$d^0(\omega_m = 2m\pi T) = (i\omega_m - \Omega)^{-1} - (i\omega_m + \Omega)^{-1}. \quad (10)$$

Полагаем, что примесные атомы в кристаллической решетке занимают физически-эквивалентные узлы, в силу чего опускаем индекс « $j$ » у величин  $\xi$  и  $\Omega$ .

Решения систем уравнений (2), (3) и (4), (5) с учетом определений (6)–(10) самосогласованно зависят от трех параметров. Первый из них есть узельное заполнение

$$A_\sigma = g_{\sigma\sigma}(j, j; \tau \rightarrow -0). \quad (11)$$

В общем случае  $A_\sigma \neq A_{-\sigma}$  и решение этой системы будет соответствовать магнитной фазе легированного соединения. В этой фазе могут появиться локальный и зонный магнитные моменты из-за различия в заполнении электронных состояний в двух спиновых подпространствах [31]. Для немагнитного состояния имеем  $A_\sigma = A_{-\sigma} = A$ , а узельное заполнение приводится к виду [26]

$$A = \int_{-\infty}^{\infty} \frac{\rho_{loc}(\omega) d\omega}{\exp[(\omega - \mu)/T] + 1}, \quad (12)$$

где  $\rho_{loc}(\omega)$  — спектральная плотность локального состояния на узле,

$$\rho_{loc}(\omega) = -\frac{1}{\pi} \operatorname{Im} g_{\sigma\sigma}(j, j; \omega_n) \Big|_{i\omega_n \rightarrow \omega + i0}, \quad (13)$$

которая имеет нормировку

$$\int_{-\infty}^{\infty} \rho_{loc}(\varepsilon) d\varepsilon = 1. \quad (14)$$

Используя выражение (10) и спектральное представление [30] для  $g_{\sigma\sigma}(j, j; \omega_n)$ , аналитически продолженную собственно-энергетическую часть (8) с

дискретного множества точек на верхнюю полуплоскость  $\omega$  можно представить в виде

$$\begin{aligned} \Sigma(\omega; A, \lambda, \mu) &= (\xi\Omega)^2 \int_{-\infty}^{\infty} \rho_{loc}(x) dx \times \\ &\times \left[ \frac{n(\mu - x) + N}{\omega - x - \Omega + i\gamma} + \frac{n(x - \mu) + N}{\omega - x + \Omega + i\gamma} \right]. \end{aligned} \quad (15)$$

Здесь  $N = 1/[\exp(\Omega/T) - 1]$ , а положительная константа  $\gamma$  в расчетах полагалась конечной, так что  $\gamma \ll \Omega$ .

Второй параметр есть спин-флуктуационный параметр  $\lambda$ ,

$$\lambda = g_{\downarrow\uparrow}(j, j; \tau \rightarrow 0), \quad (16)$$

связанный с недиагональностью функций Грина по спиновой переменной. Он приводится к виду [26]

$$\lambda = \int_{-\infty}^{\infty} \frac{\rho_{loc}^{sf}(\omega) d\omega}{\exp[(\omega - \mu)/T] + 1}, \quad (17)$$

где  $\rho_{loc}^{sf}(\omega)$  — спектральная плотность спиновых флуктуаций на узле,

$$\rho_{loc}^{sf}(\omega) = -\frac{1}{\pi} \operatorname{Im} g_{-\sigma\sigma}(j, j; \omega_n) \Big|_{i\omega_n \rightarrow \omega + i0}, \quad (18)$$

которая имеет свойство

$$\int_{-\infty}^{\infty} \rho_{loc}^{sf}(\varepsilon) d\varepsilon = 0. \quad (19)$$

Собственно-энергетическую часть (9) можно представить в виде

$$\begin{aligned} \Sigma_\lambda(\omega; A, \lambda, \mu) &= (\xi\Omega)^2 \int_{-\infty}^{\infty} \rho_{loc}^{sf}(x) dx \times \\ &\times \left[ \frac{n(\mu - x) + N}{\omega - x - \Omega + i\gamma} + \frac{n(x - \mu) + N}{\omega - x + \Omega + i\gamma} \right]. \end{aligned} \quad (20)$$

Из условия сохранения полного числа фермионов получаем уравнение для нахождения третьего параметра — химического потенциала  $\mu$  в легированном соединении:

$$\frac{1+x}{2} N_t = x N_t A + \int_{-\infty}^{\infty} \frac{\rho_{ext}(\omega) d\omega}{\exp[(\omega - \mu)/T] + 1}, \quad (21)$$

где  $\rho_{ext}(\omega)$  — спектральная плотность распространенных состояний в примесном полупроводнике:

$$\rho_{ext}(\omega) = -\frac{1}{\pi} \operatorname{Im} \sum_{\mathbf{k}} g_{\sigma\sigma}(\mathbf{k}, \mathbf{k}; \omega_n) \Big|_{i\omega_n \rightarrow \omega + i0}. \quad (22)$$

С использованием техники конфигурационного усреднения [29] по положениям  $\{\mathbf{R}_j\}$  примесных атомов решение этой системы уравнений для температурных функций Грина было найдено в работе [26]. Для локальных узельных состояний оно имеет вид

$$g_{\sigma\sigma_1}(j, j; \omega_n) = \frac{1}{2} \times \\ \times [g_{loc}(\omega_n; A - \lambda) + (-1)^{\sigma-\sigma_1} g_{loc}(\omega_n; A + \lambda)], \quad (23)$$

где

$$g_{loc}^{-1}(\omega_n; A \pm \lambda) = h(\omega_n; A \pm \lambda) - \\ - \sum_{\mathbf{k}} \frac{V_{\mathbf{k}\ell}^2}{g^{(0)-1}(\mathbf{k}, \mathbf{k}) - x N_t V_{\mathbf{k}\ell}^2 h^{-1}(\omega_n; A \pm \lambda)}, \quad (24)$$

$$h(\omega_n; A \pm \lambda) = i\omega_n - \varepsilon_0 - U(A \pm \lambda) - \\ - \Sigma(\omega_n) \pm \Sigma_{\lambda}(\omega_n). \quad (25)$$

Для распространенных состояний было получено

$$g_{\sigma\sigma_1}(\mathbf{k}, \mathbf{k}; \omega_n) = \frac{1}{2} [g_{ext}(\mathbf{k}; \omega_n; A - \lambda) + \\ + (-1)^{\sigma-\sigma_1} g_{ext}(\mathbf{k}; \omega_n; A + \lambda)], \quad (26)$$

где

$$g_{ext}^{-1}(\mathbf{k}; \omega_n; A \pm \lambda) = g^{(0)-1}(\mathbf{k}, \mathbf{k}; \omega_n) - \\ - \frac{x N_t V_{\mathbf{k}\ell}^2}{h(\omega_n; A \pm \lambda) - \sum_{\mathbf{k}} V_{\mathbf{k}\ell}^2 g^{(0)}(\mathbf{k}, \mathbf{k}; \omega_n)}. \quad (27)$$

#### 4. ЭЛЕКТРОПРОВОДНОСТЬ

В запрещенной зоне легированного полупроводника существуют зоны локальных и распространенных состояний. Поэтому перенос заряда в примесных зонах будет осуществляться по нескольким каналам, связанным структурой примесных зон. Для вычисления электропроводности используем теорию линейного отклика Кубо [32]. Вещественная часть линейного отклика определяет проводимость среды. Для статической проводимости имеем

$$\sigma(\omega) = - \lim_{\omega_0 \rightarrow 0} \frac{V}{\hbar \omega_0} \operatorname{Im} G^R(\omega_0). \quad (28)$$

где  $V$  — объем полупроводника,  $\omega_0$  — частота однородного электрического поля,  $G^R(\omega)$  — фурье-образ запаздывающей функции Грина,

$$G^R(t - t') = -i\theta(t - t') \operatorname{Sp} \rho_0[j_x(t), j_x(t')], \quad (29)$$

$\rho_0$  — равновесная матрица плотности,

$$\rho^{(0)} = \exp \left( \frac{\Omega_{th} - H + \mu N}{T} \right), \quad (30)$$

$\Omega_{th}$  — термодинамический потенциал,  $H$  — гамильтониан (1),

$$j_x(t) = \exp \left[ i \frac{(H - \mu N)t}{\hbar} \right] \times \\ \times j_x \exp \left[ -i \frac{(H - \mu N)t}{\hbar} \right], \quad (31)$$

$\hat{\mathbf{j}}$  — оператор плотности тока в шредингеровском представлении:

$$\hat{\mathbf{j}} = \frac{e\hbar}{mV} \sum_{\mathbf{k}, \sigma} \mathbf{k} a_{\mathbf{k}\sigma}^+ a_{\mathbf{k}\sigma} + \frac{e\hbar a_0^{3/2}(\mathbf{k})}{mV^{3/2}} \times \\ \times \sum_{j, \mathbf{k}, \sigma} \mathbf{k} [a_{\mathbf{k}\sigma}^+ a_{j\sigma} \exp(i\mathbf{k} \cdot \mathbf{R}_j) + \text{H.c.}], \quad (32)$$

$m$  — масса электрона,  $a_0$  — характерная длина, определяемая уравнением

$$k a_0^{3/2}(\mathbf{k}) = \frac{1}{2} \int d\mathbf{r} u_{\mathbf{k}}(\mathbf{r}) e^{i\mathbf{k} \cdot \mathbf{r}} \nabla_{\mathbf{r}} \phi_{\mathbf{R}_j=0}(\mathbf{r}),$$

$u_{\mathbf{k}}(\mathbf{r}) e^{i\mathbf{k} \cdot \mathbf{r}}$  — волновая функция зонного состояния полупроводника,  $\phi_{\mathbf{R}_j}(\mathbf{r})$  — волновая функция на примесном узле  $j$ . Характерная длина имеет порядок  $a_0$  радиуса локализации примесного состояния  $a_{eff}$ , определяемого по асимптотике

$$\phi_j(|\mathbf{r} - \mathbf{R}_j| \rightarrow \infty) \propto \exp(-|\mathbf{r} - \mathbf{R}_j|/a_{eff}).$$

Используя спектральное представление [30], для мнимой части фурье-компоненты  $G^R$  получаем

$$\operatorname{Im} G^R(\omega) = -\pi \left( 1 - e^{-\omega/T} \right) \times \\ \times \sum_{n, m} \exp[(\Omega_{th} - E_n + \mu N_n)/T] |\langle n | j_x | m \rangle|^2 \times \\ \times \delta(\omega + \omega_{nm}), \quad (33)$$

где  $\omega_{nm} = E_n - E_m - \mu(N_n - N_m)$ .

Функция (33) является нечетной:

$$\operatorname{Im} G^R(-\omega) = -\operatorname{Im} G^R(\omega), \quad \operatorname{Im} G^R(\omega = 0) = 0.$$

Поэтому для статической проводимости формула (28) приводится к виду, удобному для расчетов:

$$\sigma(\omega) = -\frac{V}{\hbar} \frac{d}{d\omega} \operatorname{Im} G^R(\omega)|_{\omega=0}. \quad (34)$$

Известно, что диаграммная техника развита для температурных функций Грина. Введем функцию Грина

$$\begin{aligned} g(\tau) = & -\text{Sp} \{ \exp[(\Omega_{th} - H + \mu N)/T] \times \\ & \times \exp[(H - \mu N)\tau] j_x \exp[-(H - \mu N)\tau] j_x \}, \\ & \tau > 0, \\ g(\tau) = & -\text{Sp} \{ \exp[(\Omega_{th} - H + \mu N)/T] \times \\ & \times \exp[-(H - \mu N)\tau] j_x \exp[(H - \mu N)\tau] j_x \}, \\ & \tau < 0. \end{aligned} \quad (35)$$

Разлагая функцию (35) в ряд Фурье по дискретным частотам  $\omega_k = 2k\pi T$ , получаем

$$\text{Im } g(i\omega_k \rightarrow \omega + i\delta) = \text{Im } G^R(\omega)$$

и, следовательно, выражение (28) можно привести к виду

$$\sigma(\omega) = -\hbar V \frac{d}{d\omega} \text{Im } g(i\omega_k \rightarrow \omega + i\delta)|_{\omega=0}. \quad (36)$$

Выражение (36) является основным для нахождения статической проводимости. Но сначала мы найдем  $g(\omega_k)$ . При этом достаточно определить функцию Грина только при  $\tau > 0$ . Используя выражение (32) для тока и  $\langle \dots \rangle$  для обозначения усреднения по Гиббсу, из уравнения (35) получаем

$$\begin{aligned} g(\tau > 0) = & -\xi_1^2 \sum k_{1x} k_{2x} G_{\mathbf{k}_1 \mathbf{k}_1 \mathbf{k}_2 \mathbf{k}_2}^{\sigma_1 \sigma_1 \sigma_2 \sigma_2}(\tau) - \\ & -\xi_1 \xi_2 \sum k_{1x} k_{2x} \exp(i\mathbf{k}_1 \cdot \mathbf{R}_j) G_{\mathbf{j}_1 \mathbf{k}_1 \mathbf{k}_2 \mathbf{k}_2}^{\sigma_1 \sigma_1 \sigma_2 \sigma_2}(\tau) - \\ & -\xi_1 \xi_2 \sum k_{1x} k_{2x} \exp(-i\mathbf{k}_1 \cdot \mathbf{R}_j) G_{\mathbf{j}_1 \mathbf{k}_1 \mathbf{k}_2 \mathbf{k}_2}^{\sigma_1 \sigma_1 \sigma_2 \sigma_2}(\tau) - \\ & -\xi_1 \xi_2 \sum k_{1x} k_{2x} \exp(i\mathbf{k}_2 \cdot \mathbf{R}_j) G_{\mathbf{k}_1 \mathbf{k}_1 \mathbf{k}_2 \mathbf{j}_2}^{\sigma_1 \sigma_1 \sigma_2 \sigma_2}(\tau) - \\ & -\xi_2^2 \sum k_{1x} k_{2x} \exp(i\mathbf{k}_1 \cdot \mathbf{R}_{j_1} + i\mathbf{k}_2 \cdot \mathbf{R}_{j_2}) G_{\mathbf{k}_1 \mathbf{j}_1 \mathbf{k}_2 \mathbf{j}_2}^{\sigma_1 \sigma_1 \sigma_2 \sigma_2}(\tau) - \\ & -\xi_2^2 \sum k_{1x} k_{2x} \exp(-i\mathbf{k}_1 \cdot \mathbf{R}_{j_1} + i\mathbf{k}_2 \cdot \mathbf{R}_{j_2}) G_{\mathbf{j}_1 \mathbf{k}_1 \mathbf{k}_2 \mathbf{j}_2}^{\sigma_1 \sigma_1 \sigma_2 \sigma_2}(\tau) - \\ & -\xi_1 \xi_2 \sum k_{1x} k_{2x} \exp(-i\mathbf{k}_2 \cdot \mathbf{R}_j) G_{\mathbf{k}_1 \mathbf{k}_1 \mathbf{k}_2 \mathbf{k}_2}^{\sigma_1 \sigma_1 \sigma_2 \sigma_2}(\tau) - \\ & -\xi_2^2 \sum k_{1x} k_{2x} \exp(i\mathbf{k}_1 \cdot \mathbf{R}_{j_1} - i\mathbf{k}_2 \cdot \mathbf{R}_{j_2}) G_{\mathbf{k}_1 \mathbf{j}_1 \mathbf{j}_2 \mathbf{k}_2}^{\sigma_1 \sigma_1 \sigma_2 \sigma_2}(\tau) - \\ & -\xi_2^2 \sum k_{1x} k_{2x} \exp(-i\mathbf{k}_1 \cdot \mathbf{R}_{j_1} - i\mathbf{k}_2 \cdot \mathbf{R}_{j_2}) G_{\mathbf{j}_1 \mathbf{k}_1 \mathbf{j}_2 \mathbf{k}_2}^{\sigma_1 \sigma_1 \sigma_2 \sigma_2}(\tau) \times \\ & \times G_{\mathbf{j}_1 \mathbf{k}_1 \mathbf{j}_2 \mathbf{k}_2}^{\sigma_1 \sigma_1 \sigma_2 \sigma_2}(\tau), \end{aligned} \quad (37)$$

где

$$G_{\alpha \beta \gamma \mu}^{\sigma_1 \sigma_1 \sigma_2 \sigma_2}(\tau) = \langle \tilde{a}_{\alpha \sigma_1}(\tau) \tilde{a}_{\beta \sigma_1}(\tau) \tilde{a}_{\gamma \sigma_2}(0) \tilde{a}_{\mu \sigma_2}(0) \rangle,$$

суммирования проводятся по всем верхним и нижним индексам  $G$ -функций и

$$\xi_1 = \frac{e\hbar}{mV}, \quad \xi_2 = \frac{e\hbar a_0^{3/2}}{mV^{3/2}}.$$

Для дальнейших преобразований выражения (37) используем приближение среднего поля и учитываем только связанные диаграммы (несвязанные диаграммы, очевидно, не дадут вклада в проводимость). После перехода к фурье-компоненте получим

$$\begin{aligned} g(\omega_n = 2n\pi T) = & \xi_1^2 \sum k_{1x} k_{2x} B_{\mathbf{k}_1 \mathbf{k}_2 \mathbf{k}_2 \mathbf{k}_1}^{\sigma_1 \sigma_2 \sigma_2 \sigma_1}(\omega_n) + \\ & + \xi_1 \xi_2 \sum k_{1x} k_{2x} \exp(i\mathbf{k}_1 \cdot \mathbf{R}_j) B_{\mathbf{j}_1 \mathbf{k}_2 \mathbf{k}_2 \mathbf{k}_1}^{\sigma_1 \sigma_2 \sigma_2 \sigma_1}(\omega_n) + \\ & + \xi_1 \xi_2 \sum k_{1x} k_{2x} \exp(-i\mathbf{k}_1 \cdot \mathbf{R}_j) B_{\mathbf{k}_1 \mathbf{k}_2 \mathbf{k}_2 j}^{\sigma_1 \sigma_2 \sigma_2 \sigma_1}(\omega_n) + \\ & + \xi_1 \xi_2 \sum k_{1x} k_{2x} \exp(i\mathbf{k}_2 \cdot \mathbf{R}_j) B_{\mathbf{k}_1 \mathbf{k}_2 \mathbf{j}_2 \mathbf{k}_1}^{\sigma_1 \sigma_2 \sigma_2 \sigma_1}(\omega_n) + \\ & + \xi_2^2 \sum k_{1x} k_{2x} \exp(i\mathbf{k}_1 \cdot \mathbf{R}_{j_1} + i\mathbf{k}_2 \cdot \mathbf{R}_{j_2}) \times \\ & \times B_{\mathbf{j}_1 \mathbf{k}_2 \mathbf{j}_2 \mathbf{k}_1}^{\sigma_1 \sigma_2 \sigma_2 \sigma_1}(\omega_n) + \\ & + \xi_2^2 \sum k_{1x} k_{2x} \exp(-i\mathbf{k}_1 \cdot \mathbf{R}_{j_1} + i\mathbf{k}_2 \cdot \mathbf{R}_{j_2}) \times \\ & \times B_{\mathbf{k}_1 \mathbf{k}_2 \mathbf{j}_2 \mathbf{j}_1}^{\sigma_1 \sigma_2 \sigma_2 \sigma_1}(\omega_n) + \\ & + \xi_1 \xi_2 \sum k_{1x} k_{2x} \exp(-i\mathbf{k}_2 \cdot \mathbf{R}_j) B_{\mathbf{k}_1 \mathbf{j}_1 \mathbf{k}_2 \mathbf{k}_1}^{\sigma_1 \sigma_2 \sigma_2 \sigma_1}(\omega_n) + \\ & + \xi_2^2 \sum k_{1x} k_{2x} \exp(i\mathbf{k}_1 \cdot \mathbf{R}_{j_1} - i\mathbf{k}_2 \cdot \mathbf{R}_{j_2}) \times \\ & \times B_{\mathbf{j}_1 \mathbf{j}_2 \mathbf{k}_2 \mathbf{k}_1}^{\sigma_1 \sigma_2 \sigma_2 \sigma_1}(\omega_n) + \\ & + \xi_2^2 \sum k_{1x} k_{2x} \exp(-i\mathbf{k}_1 \cdot \mathbf{R}_{j_1} - i\mathbf{k}_2 \cdot \mathbf{R}_{j_2}) \times \\ & \times B_{\mathbf{k}_1 \mathbf{j}_2 \mathbf{k}_2 \mathbf{j}_1}^{\sigma_1 \sigma_2 \sigma_2 \sigma_1}(\omega_n). \end{aligned} \quad (38)$$

Здесь

$$\begin{aligned} B_{\alpha \beta \gamma \mu}^{\sigma_1 \sigma_2 \sigma_2 \sigma_1}(\omega_n) = & \\ = & T \sum_{\omega_m} g_{\sigma_1 \sigma_2}(\alpha, \beta; \omega_n + \omega_m) g_{\sigma_2 \sigma_1}(\gamma, \mu; \omega_m) \end{aligned}$$

$$\text{и } \omega_m = (2m+1)\pi T.$$

Каждое слагаемое в правой части уравнения (38) преобразуется при использовании систем уравнений (2), (3) и (4), (5) так, что исключаются недиагональные функции Грина по  $j$  и  $\mathbf{k}$ . Так, например, для преобразования второго члена в (38) учтем (3). Поскольку  $V_{\mathbf{k}j} = V_{\mathbf{k}l} \exp(i\mathbf{k} \cdot \mathbf{R}_j)$ , получим

$$\begin{aligned} \sum_j \exp(i\mathbf{k}_1 \cdot \mathbf{R}_j) g_{\sigma_1 \sigma_2}(j, \mathbf{k}_2; \omega_n + \omega_m) = & \\ = & \frac{1}{V_{\mathbf{k}_1 l}} \left[ g^{(0)-1}(\mathbf{k}_1, \mathbf{k}_1; \omega_n + \omega_m) \times \right. \\ \left. \times g_{\sigma_1 \sigma_2}(\mathbf{k}_1, \mathbf{k}_2; \omega_n + \omega_m) - \delta_{\mathbf{k}_1 \mathbf{k}_2} \delta_{\sigma_1 \sigma_2} \right]. \end{aligned} \quad (39)$$

Подставляя выражение (39) во второй член в правой

части уравнения (38) и интегрируя по углам волновых векторов  $\mathbf{k}_{1,2}$ , это слагаемое приводим к виду

$$\begin{aligned} & \frac{2}{3}\xi_1\xi_2\sum_{\mathbf{k}}\frac{k^2}{V_{\mathbf{kl}}}T\sum_mg^{(0)-1}(\mathbf{k},\mathbf{k};\omega_n+\omega_m)\times \\ & \times\left[g_{\uparrow\uparrow}(\mathbf{k},\mathbf{k};\omega_n+\omega_m)g_{\uparrow\uparrow}(\mathbf{k},\mathbf{k};\omega_m)+\right. \\ & \left.+g_{\downarrow\uparrow}(\mathbf{k},\mathbf{k};\omega_n+\omega_m)g_{\uparrow\downarrow}(\mathbf{k},\mathbf{k};\omega_m)\right]- \\ & -\frac{2}{3}\xi_1\xi_2\sum_{\mathbf{k}}\frac{k^2}{V_{\mathbf{kl}}}T\sum_mg_{\uparrow\uparrow}(\mathbf{k},\mathbf{k};\omega_m). \end{aligned} \quad (40)$$

Последний член в этом выражении можно опустить, поскольку он не дает вклада в проводимость. Используя найденное выражение (26) для функции Грина, оставшийся член в (40) можно выразить через функции  $g_{ext}$ . Аналогичным образом преобразуются первый, четвертый и пятый члены в правой части уравнения (38).

Теперь рассмотрим третий член в правой части уравнения (38). Умножим уравнение (5) на  $\exp(-i\mathbf{k}_1 \cdot \mathbf{R}_j)$  и возьмем сумму по  $j$ :

$$\begin{aligned} & \frac{1}{V_{l\mathbf{k}_1}}\sum_jV_{j\mathbf{k}_1}g_{\sigma_2\sigma_1}(\mathbf{k}_2,j;\omega_m)=N_{im}VV_{l\mathbf{k}_1}\times \\ & \times g^{(0)}(\mathbf{k}_1,\mathbf{k}_1;\omega_m)g_{\sigma_2\sigma_1}(j,j;\omega_m)\delta(\mathbf{k}_1-\mathbf{k}_2)+ \\ & +\frac{1}{V_{l\mathbf{k}_1}}\sum_{j,j_1\neq j}V_{j\mathbf{k}_1}g^{(0)}(\mathbf{k}_2,\mathbf{k}_2;\omega_m)V_{\mathbf{k}_2j_1}\times \\ & \times g_{\sigma_2\sigma_1}(j_1,j;\omega_m). \end{aligned} \quad (41)$$

Последним членом в выражении (41) пренебрегаем, поскольку он пропорционален  $x^2 \ll 1$ . Используя (41) и найденные функции (23) и (26), третий член в правой части уравнения (38) можно выразить через  $g_{ext}$  и  $g_{loc}$ . Аналогичным образом преобразуем члены с шестого по девятый в правой части уравнения (38).

В результате выражение (38) сводится к виду

$$\begin{aligned} g(\omega_n)=& \frac{1}{3}\xi_1^2\sum_{\mathbf{k}}k^2T\sum_mF(\mathbf{k};\omega_n;\omega_m;A;\lambda)+ \\ & +\frac{1}{3}\xi_1\xi_2\sum_{\mathbf{k}}\frac{k^2}{V_{\mathbf{kl}}}T\times \\ & \times\sum_m\left[g^{(0)-1}(\mathbf{k},\mathbf{k};\omega_n+\omega_m)+g^{(0)-1}(\mathbf{k},\mathbf{k};\omega_m)\right]\times \\ & \times F(\mathbf{k};\omega_n;\omega_m;A;\lambda)+ \\ & +\frac{1}{3}\xi_2^2\sum_{\mathbf{k}}\frac{k^2}{V_{\mathbf{kl}}^2}T\sum_mg^{(0)-1}(\mathbf{k},\mathbf{k};\omega_n+\omega_m)\times \end{aligned}$$

$$\begin{aligned} & \times g^{(0)-1}(\mathbf{k},\mathbf{k};\omega_m)F(\mathbf{k};\omega_n;\omega_m;A;\lambda)+ \\ & +\frac{1}{3}\xi_1\xi_2N_{im}V\sum_{\mathbf{k}}k^2V_{\mathbf{kl}}T\times \\ & \times\sum_m\left[g^{(0)}(\mathbf{k},\mathbf{k};\omega_m)G(\mathbf{k};\omega_n;\omega_m;A;\lambda)+\right. \\ & \left.+g^{(0)}(\mathbf{k},\mathbf{k};\omega_n+\omega_m)H(\mathbf{k};\omega_n;\omega_m;A;\lambda)\right]+ \\ & +\frac{1}{3}\xi_2^2N_{im}^2V^2\sum_{\mathbf{k}}k^2V_{\mathbf{kl}}^2T\sum_mg^{(0)}(\mathbf{k},\mathbf{k};\omega_m)\times \\ & \times g^{(0)}(\mathbf{k},\mathbf{k};\omega_n+\omega_m)D(\omega_n;\omega_m;A;\lambda)+ \\ & +\frac{1}{3}\xi_2^2N_{im}V\sum_{\mathbf{k}}k^2T\times \\ & \times\sum_m\left[H(\mathbf{k};\omega_n;\omega_m;A;\lambda)+G(\mathbf{k};\omega_n;\omega_m;A;\lambda)\right]. \end{aligned} \quad (42)$$

Здесь введены обозначения

$$\begin{aligned} F(\mathbf{k};\omega_n;\omega_m;A;\lambda)=& \\ =\sum_{p=1,2}g_{ext}(\mathbf{k};\omega_n+\omega_m;A+(-1)^p\lambda)\times \\ & \times g_{ext}(\mathbf{k};\omega_m;A+(-1)^p\lambda), \end{aligned} \quad (43)$$

$$\begin{aligned} G(\mathbf{k};\omega_n;\omega_m;A;\lambda)=& \\ =\sum_{p=1,2}g_{ext}(\mathbf{k};\omega_n+\omega_m;A+(-1)^p\lambda)\times \\ & \times g_{loc}(\omega_m;A+(-1)^p\lambda), \end{aligned} \quad (44)$$

$$\begin{aligned} H(\mathbf{k};\omega_n;\omega_m;A;\lambda)=& \\ =\sum_{p=1,2}g_{loc}(\omega_n+\omega_m;A+(-1)^p\lambda)\times \\ & \times g_{ext}(\mathbf{k};\omega_m;A+(-1)^p\lambda), \end{aligned} \quad (45)$$

$$\begin{aligned} D(\omega_n;\omega_m;A;\lambda)=& \\ =\sum_{p=1,2}g_{loc}(\omega_n+\omega_m;A+(-1)^p\lambda)\times \\ & \times g_{loc}(\omega_m;A+(-1)^p\lambda). \end{aligned} \quad (46)$$

Суммы по  $m$  в выражении (42) вычислялись с использованием спектрального разложения температурных функций Грина. После этого, подставляя полученные значения в уравнение (36), окончательно получаем выражение для статической проводимости:

$$\begin{aligned}
\sigma = \sigma_m E_*^2 & \int_{-D_b}^{D_b} d\varepsilon_{\mathbf{k}} \tilde{\rho}^0(\varepsilon_{\mathbf{k}}) \tilde{k}^2(\varepsilon_{\mathbf{k}}) \times \\
& \times \sum_{p=1,2} \int_{-\infty}^{\infty} d\omega \left( -\frac{df(\omega - \mu)}{d\omega} \right) \times \\
& \times \left( 1 + \kappa \frac{\omega - \varepsilon_{\mathbf{k}}}{V_{\mathbf{k}}} \right)^2 \rho_{ext}^2(\varepsilon_{\mathbf{k}}, \omega; A + (-1)^p \lambda) + \\
& + 2\sigma_m x E_*^2 \kappa^2 \int_{-D_b}^{D_b} d\varepsilon_{\mathbf{k}} \tilde{\rho}^0(\varepsilon_{\mathbf{k}}) \tilde{k}^2(\varepsilon_{\mathbf{k}}) + \\
& + \sum_{p=1,2} \int_{-\infty}^{\infty} d\omega \left( -\frac{df(\omega - \mu)}{d\omega} \right) \times \\
& \times \rho_{ext}(\varepsilon_{\mathbf{k}}, \omega; A + (-1)^p \lambda) \rho_{loc}(\omega; A + (-1)^p \lambda) + \\
& + 2\sigma_m x E_*^2 \kappa \int_{-D_b}^{D_b} d\varepsilon_{\mathbf{k}} \tilde{\rho}^0(\varepsilon_{\mathbf{k}}) \tilde{k}^2(\varepsilon_{\mathbf{k}}) V_{\mathbf{k}} \times \\
& \times \int_{-\infty}^{\infty} d\omega \frac{\rho_{loc}(\omega; A \pm \lambda)}{\omega - \varepsilon_{\mathbf{k}}} \times \\
& \times \left[ \rho_{ext}(\varepsilon_{\mathbf{k}}, \omega; A \pm \lambda) \left( -\frac{df(\omega)}{d\omega} \right) - \right. \\
& \left. - \rho_{ext}(\varepsilon_{\mathbf{k}}, \varepsilon_{\mathbf{k}}; A \pm \lambda) \left( -\frac{df(\varepsilon_{\mathbf{k}})}{d\varepsilon_{\mathbf{k}}} \right) \right] + \\
& + \sigma_m x^2 E_*^2 \kappa^2 \int_{-D_b}^{D_b} d\varepsilon_{\mathbf{k}} \tilde{\rho}^0(\varepsilon_{\mathbf{k}}) \tilde{k}^2(\varepsilon_{\mathbf{k}}) V_{\mathbf{k}}^2 \times \\
& \times \left\{ \int_{-\infty}^{\infty} d\omega \frac{\rho_{loc}^2(\omega; A \pm \lambda)}{(\omega - \varepsilon_{\mathbf{k}})^2} \left( -\frac{df(\omega)}{d\omega} \right) - \right. \\
& - \int_{-\infty}^{\infty} d\omega \frac{\rho_{loc}(\omega; A \pm \lambda)}{\omega - \varepsilon_{\mathbf{k}}} \times \\
& \times \left[ 2 \frac{d\rho_{loc}(\varepsilon_{\mathbf{k}}; A \pm \lambda)}{d\varepsilon_{\mathbf{k}}} \left( -\frac{df(\varepsilon_{\mathbf{k}})}{d\varepsilon_{\mathbf{k}}} \right) - \right. \\
& \left. - \rho_{loc}(\varepsilon_{\mathbf{k}}; A \pm \lambda) \left( \frac{d^2 f(\varepsilon_{\mathbf{k}})}{d\varepsilon_{\mathbf{k}}^2} \right) \right] \right\}. \quad (47)
\end{aligned}$$

Здесь введены следующие обозначения:  $f((\omega - \mu)/T)$  — распределение Ферми,  $\kappa = \sqrt{a_0^3 N_t}$  — безразмерная величина,  $\tilde{\rho}^0(\varepsilon_{\mathbf{k}}) = \rho^0(\varepsilon_{\mathbf{k}})/N_t$  — плотность зонных состояний, нормированная на одно состояние,  $N_t$  — концентрация исходных зонных состояний на спин,  $\tilde{k}(\varepsilon_{\mathbf{k}}) = k(\varepsilon_{\mathbf{k}})/k_{max}$  — безразмерная величина,  $k_{max}$  — максимальный волновой вектор зонных электронов и

$$\sigma_m E_*^2 = \frac{\pi}{3} \frac{e^2 \hbar^3 N_t k_{max}^2}{m^2}.$$

В вычислениях мы использовали модель симметричной валентной зоны исходного полупроводника с плотностью состояний на спин

$$\rho^{(0)}(\varepsilon) = \begin{cases} \frac{N_t}{\pi D_b^2} \sqrt{D_b^2 - \varepsilon^2}, & |\varepsilon| \leq D_b, \\ 0, & |\varepsilon| > D_b. \end{cases} \quad (48)$$

Здесь  $2D_b$  — ширина валентной зоны,  $N_t$  — полное число состояний в зоне.

Полагая, что закон дисперсии  $\varepsilon(\mathbf{k})$  зависит только от модуля волнового вектора, и используя выражение (48), можно получить зависимость  $k(\varepsilon)$ , необходимую для вычисления электропроводности:

$$\begin{aligned}
k(\varepsilon) = k_{max} & \left[ \frac{\varepsilon}{D_b} \sqrt{1 - \frac{\varepsilon^2}{D_b^2}} + \right. \\
& \left. + \frac{1}{\pi} \arctg \left( \frac{\varepsilon}{D_b^2 - \varepsilon^2} \right) + \frac{1}{2} \right]^{1/d}, \quad (49)
\end{aligned}$$

где  $d = 2, 3$  и  $k_{max} = (3\pi^2 N_t)^{1/3}$  в трехмерном случае,  $k_{max} = (4\pi N_t)^{1/2}$  в двумерном случае.

Ниже мы представим результаты расчета проводимости для двумерного случая зависимости  $k(\varepsilon)$ . Для трехмерного случая результаты принципиально не отличаются. Будут представлены плотности состояний, нормированные на концентрацию атомов примеси. Так, распространенные состояния будут характеризоваться плотностью  $\rho_{ext}(\omega)/xN_t$  на спин и на примесный атом. Для того чтобы показать влияние легирования на плотность распространенных состояний в валентной зоне, в этой области спектра введем изменение плотности состояний на спин и на примесный атом атом:

$$\Delta\rho_{ext}^f(\omega) = \frac{1}{xN_t} [\rho_{ext}^f(\omega) - \rho^{(0)}(\omega)].$$

В полученных выражениях для функции Грина мы используем замену

$$V_{\mathbf{k}l} = V_k / \sqrt{N_t},$$

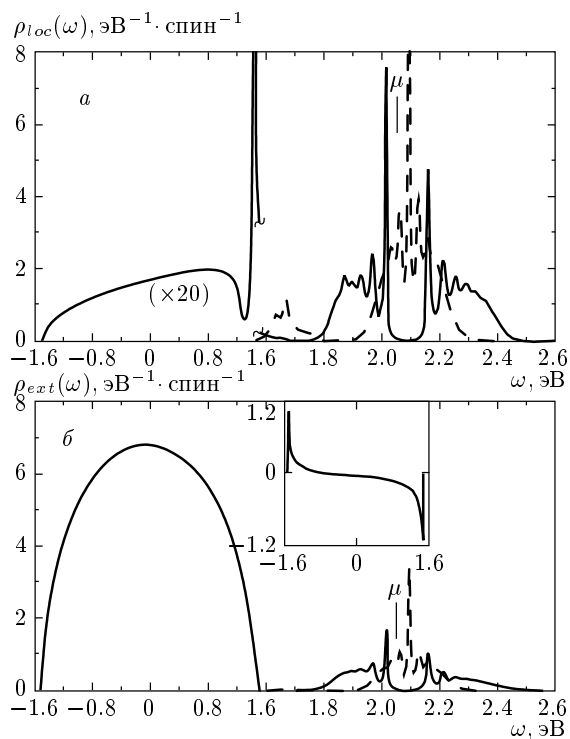
где  $V_k$  имеет размерность энергии. При вычислениях полагалось, что величина  $V_k$  не зависит от  $\mathbf{k}$ .

Таким образом, шесть констант  $D_b, \varepsilon_0, V_k, U, \Omega, \xi\Omega$  с размерностью энергии полностью определяют рассматриваемую модель. Для решения полученной замкнутой системы уравнений при конечных температурах использовалась итерационная процедура.

Погрешность в полном числе состояний не превышала  $10^{-5}$  на примесный атом. Итерации проводились до тех пор, пока абсолютное изменение самосогласованных параметров для двух последних итераций не превышало  $10^{-6}$ .

## 5. ПСЕВДОЩЕЛЬ

На рис. 2 сплошные кривые представляют электронный спектр нормального состояния примесного полупроводника при уровне легирования  $x = 0.03$  и температуре  $T = 40$  К. Были получены значения  $\lambda = 0.352$  и  $A = 0.597$ . Зависимость  $\rho_{loc}$  (сплошная кривая на рис. 2a) показывает плотность локальных состояний на спин и на примесный атом и, соответственно, зависимость  $\rho_{ext}$  (сплошная кривая на



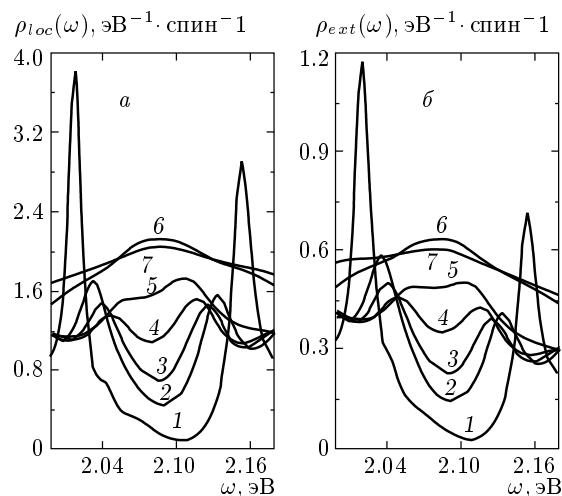
**Рис. 2.** Электронная структура спин-флуктуационного диэлектрического состояния при  $x = 0.03$  и  $T = 40$  К (сплошные кривые). Приведены спектральные плотности локальных (a) и распространенных (b) состояний. Вставка — изменение плотности распространенных состояний. Штриховыми кривыми показан электронный спектр в состоянии плоского металла, полученный при  $\lambda = 0$ , в области исходной запрещенной зоны. Использовались параметры  $D_b = 1.5$  эВ,  $\varepsilon_0 = D_b - 0.2$  эВ,  $V_k = 1.2$  эВ,  $U = 0.6$  эВ,  $\xi = 5$ ,  $\hbar\Omega = 20$  мэВ,  $\gamma = 0.2\hbar\Omega$

рис. 2б) — одночастичную плотность распространенных состояний на спин и на примесный атом как в области исходной валентной зоны, так и в области исходной запрещенной зоны. Положение  $\mu$  показано стрелкой на рис. 2 и оно выше верхнего края исходной валентной зоны полупроводника примерно на 0.5 эВ.

Как показано на рис. 2, в примесных зонах локальных и распространенных состояний открывается псевдощель  $\Delta_{PG} = 146$  мэВ, в которой расположен химический потенциал. Плотность распространенных состояний в исходной зоне полупроводника существенно меняется. На вставке рис. 2б представлено изменение этой плотности,  $\Delta\rho_{ext}(\omega)$ , на спин и на примесный атом. Вблизи верхнего края зоны  $\Delta\rho_{ext} < 0$  и, соответственно, плотность распространенных состояний значительно ниже затравочной плотности  $\rho^{(0)}(\omega)$ . Вблизи нижнего края зоны  $\Delta\rho_{ext} > 0$  и плотность распространенных состояний больше затравочной. Изменение полного числа распространенных состояний в области исходной зоны оказывается отрицательным. Для приведенного на рис. 2 результата это изменение равно  $-0.215$  состояний на спин и на примесный атом. Также в этой области появляется зона локальных состояний, которая на рис. 2а увеличена в 20 раз. Полное число этих состояний до исходной границы валентной зоны равно 0.242 на спин и на примесный атом.

Уменьшение полного числа распространенных состояний в области исходной валентной зоны связано с тем, что часть этих состояний отщепляется от исходной зоны и формирует две примесные зоны распространенных состояний в области исходной запрещенной зоны (рис. 2б). Полное число таких состояний во всей щели равно 0.215 состояний на спин и на примесный атом. Обе зоны определяются спектральными плотностями  $\rho_{ext}(\mathbf{k}; \omega; A \pm \lambda)$ . При  $x = 0.03$  и  $T = 40$  К вблизи химического потенциала эти две зоны разделены псевдощелью. По этой же причине появляется щель в спектре примесных зон локальных состояний. Эта спектральная плотность определяется величиной  $\rho_{loc}(\omega; A \pm \lambda)$ . Полное число таких состояний во всей щели равно 0.758 состояний на спин и на примесный атом. В результате в плотностях одночастичных состояний возникает псевдощель, а нормальное состояние является диэлектрическим.

Причиной возникновения диэлектрического состояния в легированном соединении при низких уровнях легирования и температурах являются спиновые флуктуации, представляемые параметром  $\lambda$ . Для того чтобы ясно показать роль спиновых флюк-

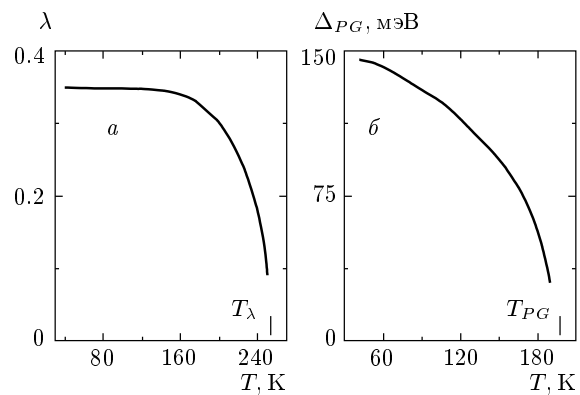


**Рис. 3.** Плотности локальных (*а*) и распространенных (*б*) состояний вблизи химического потенциала при температурном переходе диэлектрик–металл. Легирование фиксировано,  $x = 0.03$ . Кривые 1 –  $T = 80$  К, 2 –  $T = 140$  К, 3 –  $T = 160$  К, 4 –  $T = 180$  К, 5 –  $T = 200$  К, 6 –  $T = 240$  К, 7 –  $T = 300$  К. Остальные параметры те же, что и в случае рис. 2

туаций в образовании диэлектрического состояния, на рис. 2 мы также привели рассчитанные плотности состояний (штриховые кривые), положив  $\lambda = 0$ . В результате псевдощель в спектральных плотностях отсутствует, а соединение находится в состоянии плохого металла, когда на поверхности Ферми сосуществуют зоны как локальных, так и распространенных состояний, причем полное число локальных фермионов в несколько раз больше числа распространенных. Химический потенциал в этом состоянии лежит на наибольших пиках плотностей локальных и распространенных состояний, и отчетливо видно его уменьшение в диэлектрическом состоянии.

На рис. 3 показано изменение электронных спектров локальных и распространенных состояний с ростом температуры при постоянном легировании  $x = 0.03$ . С ростом температуры параметр  $\lambda$  уменьшается, а две пары зон локальных  $\rho_{loc}(\omega; A \pm \lambda)$  и распространенных  $\rho_{ext}(\omega; A \pm \lambda)$  состояний сближаются и перекрываются. В результате величина псевдощели уменьшается с ростом температуры, а плотность состояний внутри нее растет. Такое поведение спектральной плотности в конечном счете приводит к плавному температурному переходу диэлектрик–металл.

Отметим три особенности. Первая состоит в том,

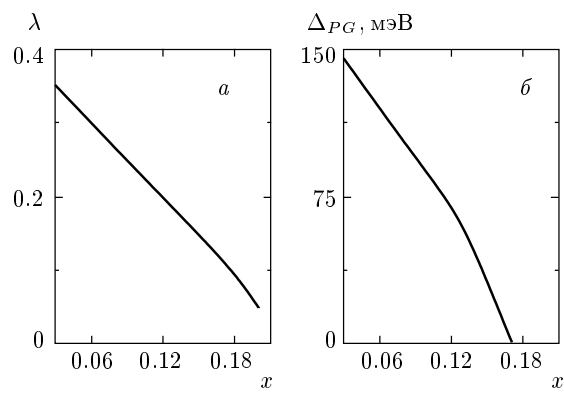


**Рис. 4.** Температурные зависимости спин-флуктуационного параметра (*а*) и псевдощели (*б*). Параметры и уровень легирования те же, что и в случае

рис. 2

что в области псевдощели и, соответственно, вблизи химического потенциала плотность распространенных состояний существенно меньше плотности локальных состояний. Вторая связана с температурными зависимостями псевдощели  $\Delta_{PG}$  и параметра  $\lambda$ . Полученные зависимости представлены на рис. 4. Величину  $\Delta_{PG}$  определяли по провалу в спектральных плотностях. Этот провал наблюдается при  $T < 200$  К (кривые 1–5 на рис. 3). Он отчетливо виден еще при  $T < 180$  К. При  $T_{PG}$  псевдощель исчезает (кривые 6, 7 на рис. 3). Однако важно то, что спиновые флуктуации «выживают» до существенно более высоких температур. Так, при  $T = 200$  К имеем  $\lambda = 0.302$ , т. е. эта величина уменьшилась всего лишь на 0.05 по сравнению с ее значением при  $T = 40$  К. Температура, при которой спин-флуктуационный параметр  $\lambda$  обращается в нуль, обозначена на рис. 4 $a$  как  $T_\lambda$ . Третья особенность связана с химическим потенциалом. Его изменение во всем температурном диапазоне от 40 до 350 К составило примерно 44 мэВ. Он увеличивается с ростом температуры до  $T \approx 250$  К, а далее уменьшается приблизительно на 2 мэВ.

Также были рассчитаны электронные спектры в зависимости от уровня легирования  $x$  при фиксированной температуре. В этом случае полученные результаты близки к представленным на рис. 3 за исключением того, что электронные спектры смещаются вправо при увеличении  $x$ . При постоянной температуре с ростом  $x$  сначала исчезает псевдощель в плотностях состояний вблизи химического потенциала (рис. 5 $b$ ). Затем, при больших  $x$ , затухают спиновые флуктуации (рис. 5 $a$ ). Соответственно  $\lambda \rightarrow 0$ ,



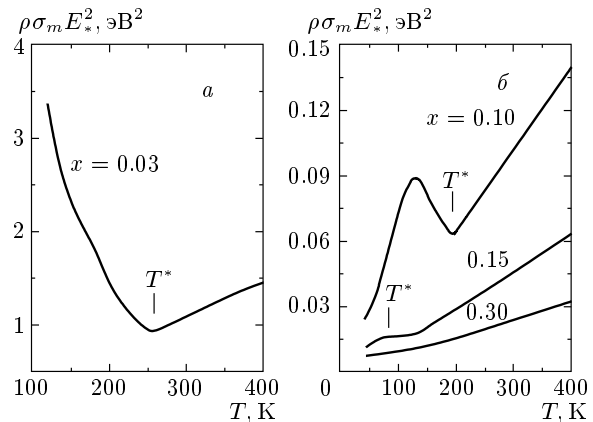
**Рис. 5.** Зависимости спин-флуктуационного параметра (а) и псевдощели (б) от уровня легирования при постоянной температуре  $T = 40$  К. Остальные параметры те же, что и в случае рис. 2

а легированное соединение переходит в состояние парамагнитного плохого металла, в котором на поверхности Ферми существуют зоны локальных и распространенных состояний, причем плотность локальных состояний значительно превосходит плотность распространенных состояний (см. рис. 2). Химический потенциал растет с ростом  $x$ , и его сдвиг составил 155 мэВ при изменении уровня легирования от 0.03 до 0.21.

Таким образом, в случае постоянной температуры при увеличении легирования сначала схлопывается псевдощель, а затем, при больших  $x$ , затухают спиновые флуктуации. При постоянном уровне легирования температура  $T_{PG}(x)$ , при которой исчезает псевдощель, меньше температуры  $T_\lambda(x)$ , при которой исчезают спиновые флуктуации. Поэтому в экспериментах, в которых измеряется плотность состояний (например, в тунNELьной спектроскопии), можно ожидать, что схлопывание псевдощели будет наблюдаться при  $T \approx T_{PG}(x)$ . Но спиновые флуктуации выживают до существенно более высоких температур. Они будут приводить к особенностям в электропроводности при температуре  $T_\lambda(x)$ , как это будет показано ниже.

## 6. ПЕРЕХОДЫ ДИЭЛЕКТРИК–МЕТАЛЛ

На рис. 6 представлены вычисленные температурные зависимости удельного сопротивления  $\rho = 1/\sigma$  примесного полупроводника при различных уровнях легирования. При  $x = 0.03$  (рис. 6а) переход от полупроводникового типа температурной зависимости удельного сопротивления, когда сопро-



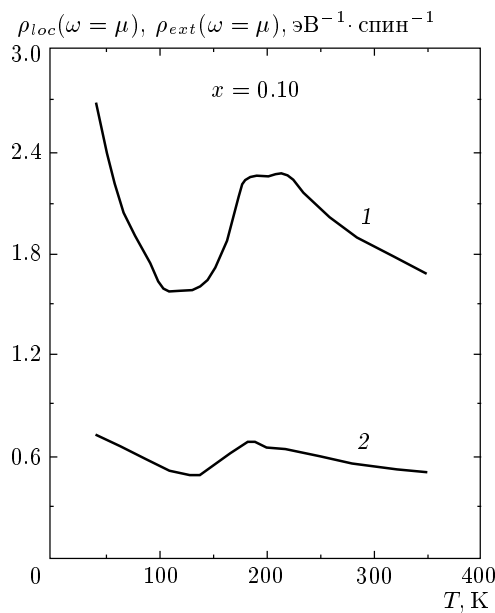
**Рис. 6.** Температурная зависимость сопротивления примесного полупроводника при уровнях легирования  $x = 0.03$  (а) и  $x = 0.10, 0.15, 0.30$  (б)

тивление растет с уменьшением температуры, к металлическому типу, для которого сопротивление почти линейно растет с ростом температуры, происходит вблизи температуры  $T^* \approx 250$  К. Появление этого перехода связано с затуханием спиновых флуктуаций в легированном соединении. Этот вывод становится наглядным при сравнении температурной зависимости  $\rho$  при  $x = 0.03$  с температурной зависимостью параметра  $\lambda$  спиновых флуктуаций, показанной на рис. 4 для того же уровня легирования. Видно, что  $\lambda \rightarrow 0$  при температуре  $T_\lambda$ , которая близка к  $T^*$  для этого уровня легирования.

Подчеркнем, что псевдощель  $\Delta_{PG}$  в спектре одночастичных состояний при  $x = 0.03$  исчезает при существенно более низких температурах,  $T_{PG} \approx 180$  К (см. рис. 4). При этой температуре уже имеется металлическое состояние, но оно необычно тем, что в нем присутствуют спиновые флуктуации. С ростом температуры они затухают, а сопротивление продолжает уменьшаться вплоть до температуры  $T_\lambda(x)$ .

С ростом уровня легирования уже при низких температурах появляется конечная плотность одночастичных состояний в области псевдощели (см. рис. 3). Температурная зависимость удельного сопротивления  $\rho$  при  $x = 0.10$  показана на рис. 6б. Здесь существуют два перехода диэлектрик–металл. В области высоких температур имеется переход диэлектрик–парамагнитный металл. Температура перехода  $T^* \approx 200$  К хорошо коррелирует с температурой  $T_\lambda$  для  $x = 0.10$ .

Кроме того, при  $x = 0.10$  в области низких температур имеется максимум сопротивления (рис. 6б),



**Рис. 7.** Температурное изменение плотности состояний на поверхности Ферми при  $x = 0.10$  для локальных (1) и распространенных (2) состояний. Остальные параметры расчета те же, что и в случае рис. 2

который соответствует переходу металл–диэлектрик с ростом температуры. Этот переход связан с изменением плотности состояний внутри псевдощели. В ее области плотность состояний на поверхности Ферми конечна и растет с уменьшением температуры, как показано на рис. 7. В результате при низких температурах температурная зависимость сопротивления имеет металлических характер.

Поскольку переход металл–диэлектрик в области низких температур связан с псевдощелью и изменением в ней плотности состояний, его можно назвать псевдощелевым переходом.

Отметим, что такие два перехода диэлектрик–металл действительно наблюдаются в недодопированной области фазовой диаграммы соединения  $\text{La}_{2-x}\text{Sr}_x\text{CuO}_4$ . С этой целью интересно сравнить результаты расчета, показанные на рис. 6б при  $x = 0.10$ , с экспериментальными данными [5], приведенными на рис. 1 для монокристалла  $\text{La}_{2-x}\text{Sr}_x\text{CuO}_4$  с  $x = 0.07$ .

С ростом уровня легирования максимум сопротивления в области низких температур сближается с минимумом сопротивления в области высоких температур  $T \approx T_\lambda$ . Это продемонстрировано на рис. 6б для случая  $x = 0.15$ .

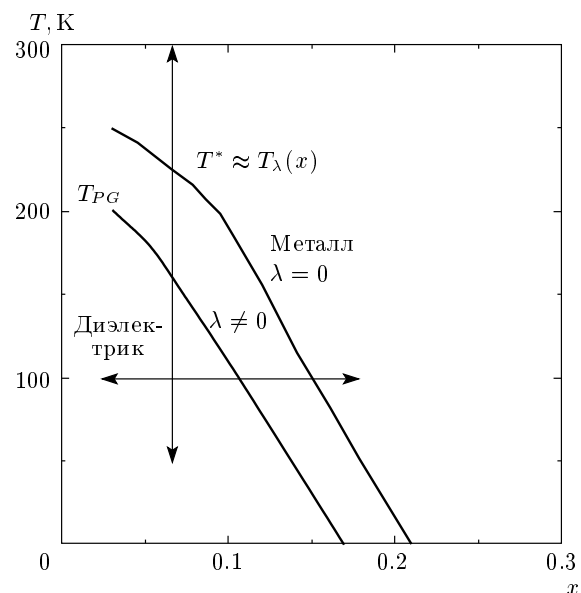
При высоких уровнях легирования сопротивле-

ние монотонно увеличивается с ростом температуры (рис. 6б для  $x = 0.30$ ), как этого и следует ожидать для плохого парамагнитного металла.

## 7. ЗАКЛЮЧЕНИЕ

В результате проведенного исследования обнаружено псевдощелевое состояние и плавные переходы диэлектрик–металл в примесных зонах легированных полупроводников при изменении как температуры, так и уровня легирования. Для описания примесного полупроводника использовалась модель Андерсона–Холстейна, в которой учитывается ансамбль примесных узлов, случайным образом распределенных в исходной решетке, и учтены электронные корреляции на примесных орбиталах. Итоговая фазовая диаграмма представлена на рис. 8, где стрелками указаны изученные переходы.

Показано, что причиной возникновения диэлектрического состояния при низких уровнях легирования полупроводника и низких температурах являются спиновые флуктуации. При этом в примесных зонах локальных и распространенных состояний открывается псевдощель, в которой расположен химический потенциал. Псевдощель характеризуется энергетической областью с низкой плотностью одно-



**Рис. 8.** Фазовая диаграмма примесного полупроводника в зависимости от уровня легирования  $x$ . Кривая  $T_\lambda(x)$  определяется решением уравнения  $\lambda(x, T_\lambda) = 0$ ; кривая  $T_{PG}(x)$  — решением уравнения  $\Delta_{PG}(x, T_{PG}) = 0$

частичных состояний. При постоянном уровне легирования температура  $T_{PG}(x)$ , при которой исчезает псевдощель, меньше температуры  $T_\lambda(x)$ , при которой исчезают спиновые флюктуации. При  $T > T_\lambda(x)$  примесный полупроводник переходит в состояние парамагнитного плохого металла, у которого на поверхности Ферми существуют примесные зоны локальных и распространенных состояний. В случае постоянной температуры при увеличении легирования сначала схлопывается псевдощель, а затем, при больших  $x$ , затухают спиновые флюктуации.

В результате исследования сопротивления примесного полупроводника найдены два различных перехода диэлектрик–металл, при которых происходит изменение температурной зависимости сопротивления от полупроводникового типа к металлическому типу. Первый переход диэлектрик  $\rightarrow$  плохой металл имеет место при  $T^*(x) \approx T_\lambda(x)$  и обусловлен затуханием спиновых флюктуаций в примесном полупроводнике. Второй (псевдощельевой) переход плохой металл  $\rightarrow$  диэлектрик в области низких температур связан с псевдощелью и температурным изменением в ней плотности состояний.

Работа выполнена при частичной поддержке РФФИ (грант № 04-02-17474а).

## ЛИТЕРАТУРА

1. T. Timusk and B. Statt, Rep. Progr. Phys. **62**, 61 (1999).
2. J. L. Tallon and J. W. Loram, Physica C **349**, 53 (2001).
3. М. В. Садовский, УФН **171**, 539 (2001).
4. S. Chakraverty, R. B. Laughlin, D. K. Morr, and Ch. Nayak, Phys. Rev. B **63**, 94503 (2001).
5. B. Batlogg, H. Y. Hwang, H. Tagaki et al., Physica C **235–240**, 130 (1994).
6. L. Alff, D. Manske, B. Welter et al., Nature **422**, 698 (2003).
7. J. L. Luo, J. W. Loram, J. R. Cooper et al., Physica B **284–288**, 1045 (2000).
8. U. Thisted, J. Nyhus, T. Suzuki, and K. Fossheim, Phys. Rev. B **67**, 184510 (2003).
9. P. Dai, H. A. Mook, G. Aeppli et al., Nature **406**, 965 (2000).
10. D. Pines, Physica C **341**, 59 (2000).
11. J. G. Bednorz, K. A. Muller, T. Riesterer, and B. Reichl, Phys. Rev. B **35**, 8804 (1987).
12. H. Namatame, A. Fujimori, Y. Tokura et al., Phys. Rev. B **41**, 7205 (1990).
13. R. O. Anderson, R. Claessen, J. W. Allen et al., Phys. Rev. Lett. **70**, 3163 (1990).
14. N. P. Armitage, F. Ronning, D. H. Lu et al., Phys. Rev. Lett. **88**, 257001 (2002).
15. T. Watanabe, T. Takahashi, S. Suzuki et al., Phys. Rev. B **44**, 5316 (1991).
16. Г. М. Элиашберг, в сб. *Физические свойства высокотемпературных сверхпроводников*, под ред. Д. М. Гринберга, Мир, Москва (1990), с. 505.
17. E. Dagotto, Rev. Mod. Phys. **66**, 763 (1994).
18. R. B. Laughlin, E-print archives, cond-mat/0209269.
19. B. A. Bernevig, R. B. Laughlin, and D. I. Santiago, Phys. Rev. Lett. **91**, 147003 (2003).
20. F. C. Zhang, Phys. Rev. Lett. **90**, 207002 (2003).
21. E. Lai and R. J. Gooding, Phys. Rev. B **57**, 1498 (1998).
22. P. P. Edwards, N. F. Mott, and A. S. Alexandrov, J. Supercond. **11**, 151 (1998).
23. P. C. Hammel, B. W. Statt, R. L. Martin et al., Phys. Rev. B **57**, R712 (1998).
24. J. K. Perry, J. Tahir-Kheli, and W. A. Goddard, Phys. Rev. B **65**, 144501 (2002).
25. F. D. M. Haldane and P. W. Anderson, Phys. Rev. B **13**, 2553 (1976).
26. А. И. Агафонов, Э. А. Маныкин, ЖЭТФ **124**, 394 (2003).
27. К. А. Кикоин, *Электронные свойства примесей переходных металлов в полупроводниках*, Энергогатиздат, Москва (1991).
28. A. I. Agafonov and E. A. Manykin, Phys. Rev. B **52**, 14571 (1995).
29. F. Yonezawa and T. Matsubara, Progr. Theor. Phys. **35**, 357 (1966).
30. А. А. Абрикосов, А. П. Горьков, И. Е. Дзялошинский, *Методы квантовой теории поля в статистической физике*, Физматгиз, Москва (1962).
31. А. И. Агафонов, Э. А. Маныкин, ЖЭТФ **109**, 1405 (1996).
32. С. В. Тябликов, *Методы квантовой теории магнетизма*, Наука, Москва (1966).